

ЭКСПЕРИМЕНТАЛЬНОЕ ИЗУЧЕНИЕ ПРИСТЕНОЧНОЙ ТУРБУЛЕНТНОСТИ В КАНАЛЕ

B. B. Орлов (Новосибирск)

При помощи специально разработанного стробоскопического прибора проведены измерения мгновенных скоростей вблизи стенки (включая вязкий подслой) в турбулентном потоке воды в канале. Найдены значения средней скорости и турбулентных пульсаций в функции от расстояния от стенки. Примененная методика существенно проще, чем термоанемометрическая, хотя несколько уступает ей в точности.

Гидродинамика вязкого подслоя и переходного слоя в турбулентном потоке представляет, как известно, большой интерес для целого ряда теоретических и практических проблем. Однако даже для классического объекта такого рода — течения около плоской гладкой поверхности без градиента давления — в литературе имеется очень

мало данных [1, 2]. Кроме того, все эти данные получены при помощи термоанемометра, применение которого к течению вблизи твердой стенки сопряжено не только с большими техническими трудностями, но также и с некоторыми принципиальными ограничениями [3].

Так, например, при большой относительной величине турбулентных пульсаций в показания термоанемометра необходимо вносить поправку, зависящую не только от величины измеряемой пульсационной компоненты, но также и от корреляции этой компоненты с другими. Большие технические трудности при изготовлении и эксплуатации термоанемометров с особо тонкими нитями (до 1 мк в диаметре) также налагают ряд ограничений: по разрешающей способности в пространстве, по скорости потока, чистоте газа и т. д.

От рассмотренных выше принципиальных недостатков свободен известный метод визуализации течения¹, заключающийся в том, что в движущиеся газ или жидкость тем или иным способом вводятся светящиеся «метки», которые затем фотографируются. В частности, можно получить такие метки, введя в поток жидкости или газа мелкие, хорошо рассеивающие или отражающие свет твердые частицы; фотографирование их при импульсном боковом освещении дает на неподвижной фотопленке прерывистый «трек». Измеряя такой трек на фотопленке, вычисляют две компоненты мгновенной скорости частицы; можно также вычислить и мгновенные ускорения данного элементарного объема жидкости.

Разумеется, для этого необходимо, чтобы введенные в поток твердые частицы достаточно точно следовали за жидкостью или газом. Расчет показывает, что для этого необходимо выполнить условие

$$w_0 / g \ll 1 / f$$

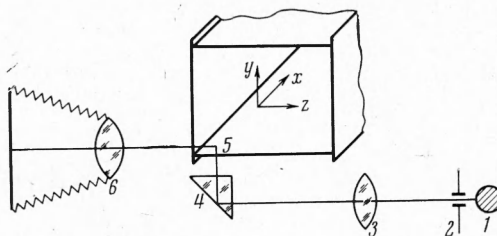
Здесь w_0 — скорость седиментации частицы в данной среде при ускорении силы тяжести g , f — характерная частота изучаемого течения.

Это условие легче выполнить для жидкой среды; однако и в этом случае размер частиц получается порядка 10 мк, так что фотографирование необходимо вести с увеличением в 3—10 раз.

Экспериментальная установка состояла из циркуляционного контура со смешанным рабочим участком и специальной электронной схемы, обеспечивающей импульсное (стробоскопическое) освещение объекта; оптическая схема приведена на фиг. 1.

Рабочий участок № 2, на котором было проведено большинство опытов, выполнен из органического стекла прямоугольной в сечении формы; размеры его 17 × 16 мм. Фотографирование треков производилось в сечении, отстоящем от входа на 475 мм (т. е. около 30 калибров) около донной поверхности канала при числе Рейнольдса порядка 20 000. Рабочей средой служила вода при комнатной температуре; вводились мелкие частицы Al₂O₃ или Al (алюминиевая пудра). В последнем случае приходилось также вводить в небольших концентрациях смачивающий агент. Суспензия частиц предварительно подвергалась отмучиванию; в большей части опытов использовалась фракция частиц Al с $w_0 \ll 0.1$ см/сек.

¹ По-видимому, первым автором, применившим метод визуализации к данному объекту, был Фейдж [4]; сравнительно недавно появилась статья [5], где получен профиль средней скорости при помощи специального стереоскопического микроскопа.



Фиг. 1. Оптическая схема установки: 1 — трубчатая импульсная лампа, 2 — щель, 3 — объект, 4 — призма, 5 — канал с прозрачными стенками, 6 — фото- или кинокамера

термоанемометров с особо тонкими нитями (до 1 мк в диаметре) также налагают ряд ограничений: по разрешающей способности в пространстве, по скорости потока, чистоте газа и т. д.

От рассмотренных выше принципиальных недостатков свободен известный метод визуализации течения¹, заключающийся в том, что в движущиеся газ или жидкость тем или иным способом вводятся светящиеся «метки», которые затем фотографируются. В частности, можно получить такие метки, введя в поток жидкости или газа мелкие, хорошо рассеивающие или отражающие свет твердые частицы; фотографирование их при импульсном боковом освещении дает на неподвижной фотопленке прерывистый «трек». Измеряя такой трек на фотопленке, вычисляют две компоненты мгновенной скорости частицы; можно также вычислить и мгновенные ускорения данного элементарного объема жидкости.

Разумеется, для этого необходимо, чтобы введенные в поток твердые частицы достаточно точно следовали за жидкостью или газом. Расчет показывает, что для этого необходимо выполнить условие

$$w_0 / g \ll 1 / f$$

Здесь w_0 — скорость седиментации частицы в данной среде при ускорении силы тяжести g , f — характерная частота изучаемого течения.

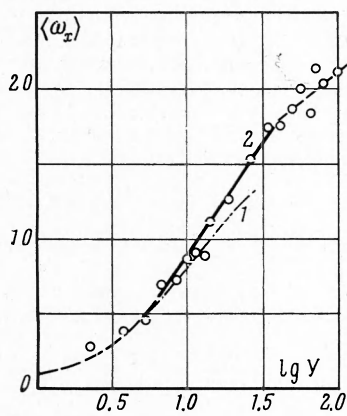
Это условие легче выполнить для жидкой среды; однако и в этом случае размер частиц получается порядка 10 мк, так что фотографирование необходимо вести с увеличением в 3—10 раз.

Экспериментальная установка состояла из циркуляционного контура со смешанным рабочим участком и специальной электронной схемы, обеспечивающей импульсное (стробоскопическое) освещение объекта; оптическая схема приведена на фиг. 1.

Рабочий участок № 2, на котором было проведено большинство опытов, выполнен из органического стекла прямоугольной в сечении формы; размеры его 17 × 16 мм. Фотографирование треков производилось в сечении, отстоящем от входа на 475 мм (т. е. около 30 калибров) около донной поверхности канала при числе Рейнольдса порядка 20 000. Рабочей средой служила вода при комнатной температуре; вводились мелкие частицы Al₂O₃ или Al (алюминиевая пудра). В последнем случае приходилось также вводить в небольших концентрациях смачивающий агент. Суспензия частиц предварительно подвергалась отмучиванию; в большей части опытов использовалась фракция частиц Al с $w_0 \ll 0.1$ см/сек.

¹ По-видимому, первым автором, применившим метод визуализации к данному объекту, был Фейдж [4]; сравнительно недавно появилась статья [5], где получен профиль средней скорости при помощи специального стереоскопического микроскопа.

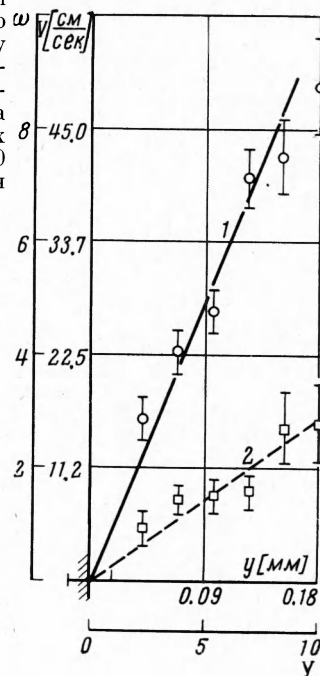
Электронная схема управления импульсной лампой была построена с таким расчетом, чтобы обеспечить одновременно возможно большие яркость вспышек и точность выдерживания временных интервалов между ними. Импульсный разряд конденсаторов через лампу-вспышку управлялся тиристорами ТГИ1-400/16 (импульсный разрядный ток до 400 а); строго равные интервалы времени между вспышками обеспечивались после соответствующего формирования синусоидальным напряжением задающего генератора, частота которого могла изменяться в широких пределах. При параметрах разряда 2 кс, 2 мкФ-импульсная лампа ИФК-120 дает яркость свечения около 10⁵ стильбов, время вспышки — порядка 20 мкесек.



Фиг. 2

Фиг. 2. Средняя продольная скорость $\langle \omega_x \rangle$ в зависимости от $y=y_*$; 1 — профиль, полученный в работе [5], 2 — результаты автора

Фиг. 3. 1—средняя продольная скорость $\langle \omega_x \rangle$, 2—среднеквадратичная продольная пульсация $\langle \omega_x^2 \rangle$



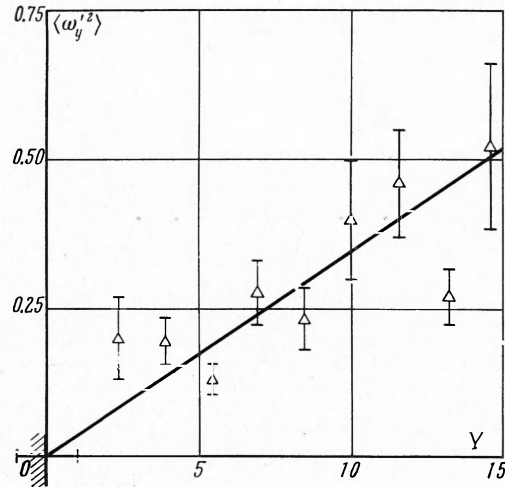
Фиг. 3

Изображение щели (фиг. 1) проектируется осветительным объективом через прозрачную донную поверхность рабочего участка внутрь его так, что внутри потока жидкости освещается узкая область («световой нож») глубиной по оси z в несколько десятых мм. На каждом кадре, кроме треков, экспонировалась световая метка, расположенная на плоскости дна, от которой производился отсчет y — координат треков.

Каждый кадр как совокупность некоторого количества треков характеризует поле мгновенных скоростей; усреднение мгновенных значений по разным кадрам дает возможность вычислить поля средних скоростей и пульсаций.

На фиг. 2—4 представлены результаты, полученные в одной из серий опытов. На фиг. 2 в полулогарифмических координатах нанесена средняя продольная скорость $\langle \omega_x \rangle$ (в безразмерной форме).

Полученные экспериментальные точки лежат в основном в вязком подслое ($Y = yV_* / v < 5$) и в промежуточном слое ($5 < Y < 30$). Из графика видно, что в промежуточном слое профиль скорости



Фиг. 4. Поперечная пульсация $\langle \omega_y^2 \rangle$ в зависимости от $y = y$; 1 — профиль скорости

может быть аппроксимирован формулой

$$\langle \omega_* \rangle = -5.7 + 14 \lg Y$$

Динамическая скорость $V_* = \sqrt{\tau/\rho}$ вычислялась по перепаду давления вдоль канала.

В пределах точности настоящего эксперимента (основная погрешность связана с неточностью в определении местного значения динамической скорости) это совпадает с данными, полученными Лауфером [1] и Рейхардтом [2] термоанеметрическим методом. Данные этих авторов могут быть выражены формулой

$$\langle \omega_x \rangle = -3.5 + 12.0 \lg Y_*$$

На фиг. 3 представлены профили $\langle \omega_x \rangle$ и продольной среднеквадратичной пульсации $\langle \omega_x'^2 \rangle$ в интервале $Y < 10$, а на фиг. 4 — поперечная пульсация $\langle \omega_y'^2 \rangle$. Вероятные статистические ошибки, нанесенные на этих графиках, вычислялись по числу осредняемых значений мгновенной скорости в каждом интервале по Y . Эти данные также в пределах точности эксперимента согласуются с данными Лауфера.

Здесь важно подчеркнуть, что в вязком подслое имеется весьма высокий уровень продольных пульсаций $\alpha_x \equiv \omega_x^{-1} \langle \omega_x'^2 \rangle$, из наших опытов получено $\alpha_x = (30 \pm 10)\%$. Таким образом, вязкий подслой состоит из хаотически чередующихся областей с переменными значениями локального мгновенного напряжения сдвига τ_m . Пространственную протяженность этих областей в продольном направлении можно оценить из измерений мгновенных ускорений жидкого моля. К настоящему времени получена лишь грубая оценка, что протяженность самых малых элементов таких областей в изученном режиме не менее нескольких десятых $мм$.

Статистический анализ пульсаций в вязком подслое указывает на асимметрию в распределении пульсаций по величине и знаку.

Автор благодарит В. М. Карстена и Е. С. Мпхайлову, участвовавших в выполнении этой работы, и Е. М. Хабахашеву — за весьма полезные советы и обсуждения.

Поступила 10 II 1966

ЛИТЕРАТУРА

1. Lauffer J. The structure of turbulence in fully developed pipe flow. NACA Tech. Rep. N1174, 1954.
2. Reichardt H. Die Wärmeübertragung in turbulenten Reibungsschichten. Z. angew. Math. und Mech., 1940, B. 20, 297.
3. Хинце И. О. Турбулентность. Физматгиз, 1963.
4. Fage A., Townsend H. C. H. An examination of turbulent flow with an ultramicroscope. Proc. Roy. Soc. A, 1932, vol. 135, p. 656.
5. Nedermaier R. M. The measurement of velocities in the wall region of turbulent liquid pipe flow. Chem. Engng Sci., 1961, vol. 16, p. 120.

О ВЛИЯНИИ СЖИМАЕМОСТИ И НЕИЗОТЕРМИЧНОСТИ ГАЗА НА ЭФФЕКТИВНОСТЬ ЗАГРАДИТЕЛЬНОГО ОХЛАЖДЕНИЯ ПРИ ТУРБУЛЕНТНОМ ПОГРАНИЧНОМ СЛОЕ

Э. П. Волков, С. С. Кутателадзе, А. И. Леонтьев

(Новосибирск)

В большинстве работ по заградительному охлаждению анализируется эффективность тепловой защиты при течении несжимаемой среды с постоянными физическими свойствами. В технике же заградительное охлаждение используется при обтекании элементов машин высокотемпературным потоком газа с большими скоростями.

Однако исследования в таких условиях ограничены [1-3].

Для анализа влияния этих факторов на эффективность тепловой завесы используется метод, предложенный в работе [4]. Показано, что влияние сжимаемости и неизотермичности на эффективность тепловой завесы несущественно.

Из уравнения энергии пограничного слоя на теплоизолированной части плоской стенки

$$\frac{dR_{T**}}{dX} + \frac{R_{T**}}{\Delta T} \frac{d(\Delta T)}{dX} = 0 \quad (1)$$